

論文

70550

焼結の操業解析*

鞭巖**・樋口充蔵***

Theoretical Analysis on the Operation of Sintering

Iwao MUCHI and Jūzō HIGUCHI

Synopsis:

On the basis of a mathematical model for sintering process, the effects of operating variables, i.e., temperature and oxygen concentration of gas in ignition furnace, time for ignition, mass velocity of gas, diameter and temperature of solid particles to be fed, mass fraction of coke in a burden materials and voidage of bed, on the temperature distributions in sintering bed are estimated from numerical calculations with the aid of digital computer.

Also, theoretical analysis on the optimum pallet speed to obtain a maximum production rate in Dwight-Lloyd sintering process is developed, and the equations on the optimum pallet speed, maximum production rate and mean yield are proposed in terms of the expressions for the definitions of sintering velocity and sintering time.

1. 緒言

最近、高炉の主要な装入原料として、焼結鉱の使用量が増加の傾向にあり、高炉の大型化に伴つて焼結機も次第に規模が拡大されてきている。

著者らは、コークスの燃焼速度および固体粒子の乾燥速度を考慮した数学的モデル¹⁾²⁾をすでに発表したが、本研究ではこの数学的モデルに基づいて、点火の条件や吸引風量、あるいは、固体原料の装入条件などが焼結層内の温度分布に及ぼす影響を調べ、均一な製品を得るためのプロセスとして多層操業法についても検討する。なお焼結プロセスの最適化についての理論的な考察を行ない、最大の生産量を与えるようなパレットの最適送り速度を求める。

従来、焼結機に関連のある理論解析の発表は少ないが簡単な熱収支に基づいた層内温度分布の考察³⁾や、総括的な熱および物質収支に基づいて燃焼帯の進行速度を取扱った研究⁴⁾、あるいは、層内の温度分布を正規分布で近似化して未知パラメータを決定する研究⁵⁾が報告されている。

焼結プロセスは非定常プロセスであるから、基礎式は偏微分方程式で表現されることになる。微分方程式に基づいた理論解析としては、粒子・ガス間の熱交換に着目した深川ら⁶⁾の研究があるが、反応については考慮されていない。なお、JOHNSON ら⁷⁾は、充填層反応装置で粒

子とガスの温度が同じと仮定し、熱伝導を無視した場合について濃度分布の解を得、これを特性曲線の式に代入して層内における温度分布の推移を調べている。

2. 焼結プロセスの解析

2.1 基礎式

焼結機は連続式のドワイトロイド型と回分式のグリナワルト型に大別されるが、試験鍋は回分式という点で後者に属する。さて、焼結プロセスは、前者では二次元定常問題として表現され、後者では一次元非定常問題として取扱われるが、前者でもパレットに乗つた座標で考えると一次元非定常問題に帰着し、両者の基礎式は数学的表現において一致する。(Appendix 参照)

ここでは、一次元非定常の基礎式に基づいて計算するが上述の理由から、ここで得られた結果をドワイトロイド型の場合の解へ変換することができる。

2.1.1 予熱帶、冷却帶、燃焼帶における基礎式

理論展開に当たつて次の仮定を設ける。

(1)熱伝導とふく射伝熱を無視する。(2)反応熱はすべて粒子の温度変化に寄与する。(3)粒子径が小さいので粒子内部の温度は均一とする。

* 昭和43年4月、44年10月本会講演大会にて発表
昭和44年8月4日受付

** 名古屋大学工学部 工博

*** 富士製鉄(株)室蘭製鉄所

反応はコークスの燃焼反応だけを考慮し、粒子の融解と凝固は考慮しない。これら条件下で次のような基礎式が得られる。(説明は Appendix 参照)

$$-G\{\partial(c_g T)/\partial z\} - 12 \times 10^{-3} c_g T R_c^* - h_p a(T-t) = \varepsilon \rho_g \{\partial(c_g T)/\partial \theta\} \quad (1)$$

$$-G\{\partial(C_{O_2}/\rho_g)/\partial z\} - (1 + 12 \times 10^{-3} C_{O_2}/\rho_g) R_c^* = \varepsilon \rho_g \{\partial(C_{O_2}/\rho_g)/\partial \theta\} \quad (2)$$

$$-G\{\partial(C_{CO_2}/\rho_g)/\partial z\} + (1 - 12 \times 10^{-3} C_{CO_2}/\rho_g) R_c^* = \varepsilon \rho_g \{\partial(C_{CO_2}/\rho_g)/\partial \theta\} \quad (3)$$

$$-\partial G/\partial z + 12 \times 10^{-3} R_c^* = \partial(\varepsilon \rho_g)/\partial \theta \quad (4)$$

$$C_{O_2} + C_{CO_2} + C_{N_2} = 4 \cdot 465 \times 10^{-5} (273/T) \quad (5)$$

$$\rho_g = (32 C_{O_2} + 44 C_{CO_2} + 28 C_{N_2}) \times 10^{-3} (273/T) \quad (6)$$

$$h_p a(T-t) + (-\Delta H_c) R_c^* = (1 - \varepsilon) \rho_p \{\partial(c_s t)/\partial \theta\} \quad (7)$$

$$R_c^* = n_c r_c^* \quad (8)$$

$$r_c^* = 4\pi r_c^2 k_c^* c_{O_2} \quad (9)$$

2.1.2 乾燥帯における基礎式

乾燥は恒率期間と減率第1段階だけを考慮し、減率第2段階は影響が小さいので無視する。

恒率期間では、(1)式で $R_c^* = 0$ とおいた式のほかに次の(10), (11)式で示される。

$$-\partial(GH)/\partial z + 6(1-\varepsilon)h_p(T-t)/d_p(\Delta H_v) = \partial(\varepsilon \rho_g H)/\partial \theta \quad (10)$$

$$-\partial W/\partial \theta = 6h_p(T-t)/d_p \rho_p(\Delta H_v) \quad (11)$$

減率期間では、(1)式で $R_c^* = 0$ とおいた式のほかに、(12)～(14)式で示される。

$$-\partial(GH)/\partial z + 6(1-\varepsilon)h_p(T-t)(W-W_e)/d_p(\Delta H_v) = \partial(\varepsilon \rho_g H)/\partial \theta \quad (12)$$

$$-\partial W/\partial \theta = 6h_p(T-t)(W-W_e)/d_p \rho_p(\Delta H_v) \quad (13)$$

$$\partial t/\partial \theta = 6h_p(T-t)(W_c-W)/(W_c-W_e)d_p \rho_p c_s \quad (14)$$

恒率乾燥から減率乾燥へ移行する際の限界含水率 W_c の概略値を知るために、コークスと石灰石を配合したエル・ロメラル鉱石 200 g の含水率の時間的な変化を赤外線水分計で調べた結果の一例を Fig. 1 に示す。Fig. 1 で右下がりの直線が恒率乾燥に相当し、直線と曲線との境界点が限界含水率で、この場合は約 0.02 の値になっている。

最小二乗法によつて近似した実験式は、恒率期間(図中の直線部分)では(15)式、減率期間(図中の曲線)では(16)式で示され、両式から限界含水率が推算される。

$$W = -9.90 \times 10^{-3} \theta + 6.42 \times 10^{-2} \quad (15)$$

$$W = 8.47 \times 10^{-4} \theta^2 - 1.54 \times 10^{-2} \theta + 7.07 \times 10^{-2} \quad (16)$$

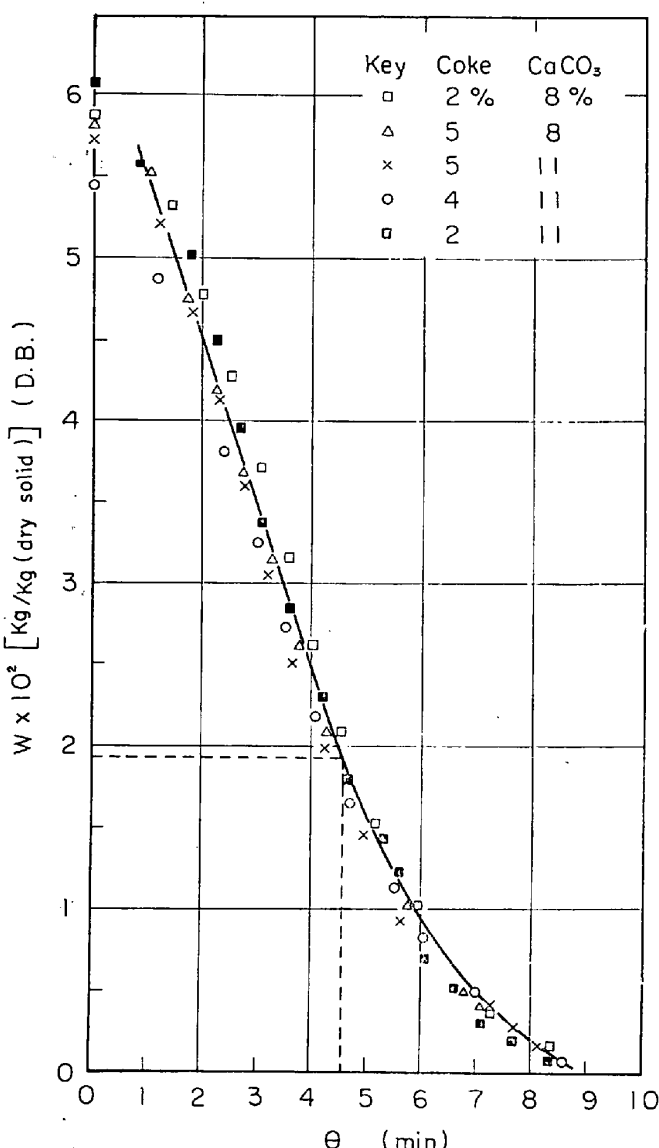
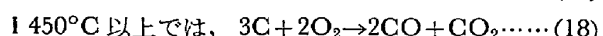


Fig. 1. Drying curve for solid particles of iron ore containing coke and limestone.

乾燥過程を逐次計算する場合、乾燥条件の変化に伴う誤差は乾燥速度が急速なために通常小さいものと推定される。

2.2 コークスの燃焼反応

炭素の燃焼反応については、古くから研究が行なわれているが、MEYER⁸は、実験データを整理した結果、生成する CO₂ と CO とのモル比の測定値が、約 1500°C 以下の低温領域では 0.8~1.3 となり、2000°C 付近の高温領域では 0.4~0.6 の範囲に分布することを認め、炭素の反応機構として(17), (18)式を提出しており、MAYERS⁹もこの反応機構を支持している。



また、KHITRIN¹⁰は、炭素の燃焼反応は、酸素原子が

Table 1. Data for numerical calculation.

Number of figure		2	3, 4	5	7	8	9	10	11	12
d_p	cm	0.3	"	"	—	0.3	"	"	"	"
$C_{O_2,0} \times 10^6$	mol/cm ³	5.63	"	4.08	5.63	—	5.63	"	"	"
$C_{O_2,1} \times 10^6$	mol/cm ³	7.50	"	9.38	7.50	"	"	"	"	"
$G \times 10^3$	kg/cm ² ·min	5.17	"	—	5.17	"	"	"	"	"
$m_c \times 10^2$	—	3.0	"	3.5	3.0	"	"	—	—	—
r_0	cm	0.15	"	"	—	0.15	"	"	"	"
t_0	°K	300	"	"	"	"	—	300	"	"
T_0	°K	—	1300	"	"	"	"	1500	1300	—
T_1	°K	1000	"	1100	1000	"	"	"	"	"
ϵ	—	0.4	"	"	"	"	"	0.4	"	"
θ_1	min	1.2	—	1.1	1.2	"	"	"	"	"
θ_2	min	1.1	—	0.15	1.1	"	"	"	"	"
$\rho_p \times 10^3$	kg/cm ³	4.0	"	"	"	"	"	"	"	0.10
Δz	cm	0.05	"	"	"	"	"	"	"	"
$\Delta \theta$	min	0.05	"	"	"	"	"	"	"	"

" : double prime means the same value as one of the left-hand side

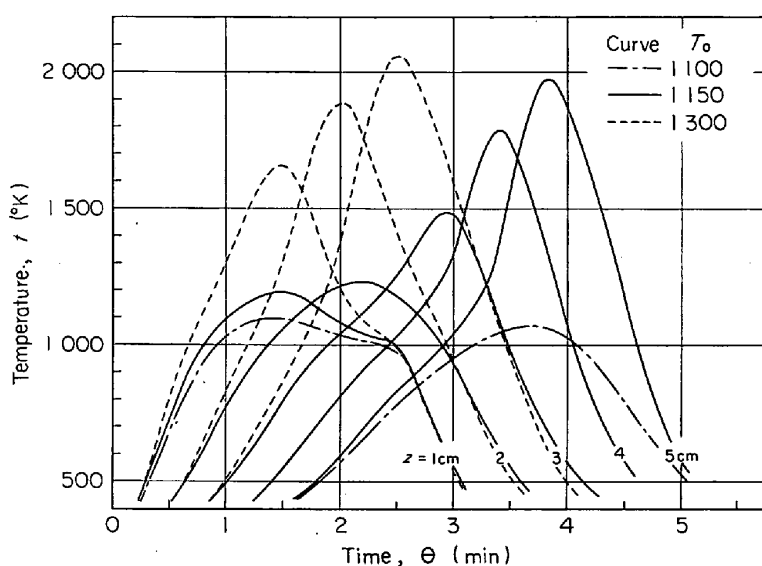


Fig. 2. Effect of gas temperature in ignition furnace on the temperature distributions of solid particles in sintering bed.

が次第に上昇しているが、1100°Kの場合には温度分布の成長がみられないで焼結プロセスは進行しないと推察される。しかし、さらに約50°K上昇させると温度分布の成長がみられるので、この操作条件のもとでは、1150°Kが必要な点火温度の下限であるとみなされる。

3.3 点火時間

一般に、焼結機では1次点火は約1 min間といわれているが、最近の焼結機では2次点火炉をそなえたものが多い。ここでは、点火温度などの条件は同じにして、点火時間だけを変化させた場合の効果を調べた計算結果をFig. 3に示す。Fig. 3からわかるように、1次点火時間が1 minのときには焼結プロセスは進行するが、42 secの場合には温度分布は上昇しないで冷却される。点火時間が45 secの場合には、層表面から4 cmになつてよう

やく温度分布が成長し始めるので、このような条件下では、第1次点火時間の下限は約45 secであると推察できる。

次に、第2次点火時間の影響を調べた結果をFig. 4に示す。第2次点火時間を長くすると温度分布曲線の幅が広がり、短かくすると温度が急速に降下するので、第2次点火は保温の効果があることがわかる。

3.4 ガス流量

単位断面積当たりのガスの質量速度Gは、顯熱の移動を支配し、さらに、伝熱係数や物質移動係数にも関係するので、層内温度分布に大きな影響をおよぼす。ここでは、ガスの質量速度だけを変化させた場合の層内温度分布の推移を調べた結果をFig. 5に示す。Fig. 5から、Gを増加すると温度分布曲線の幅が狭くなり、焼結速度が急増するが、極大点の温度にはあまり変化がみられない。

三本木ら¹⁷⁾¹⁸⁾は、空気流量を増加した場合に焼結時間が短縮されることを報告しており、また、DAVIES¹⁹⁾は、Flame front speed(F.F.S.)は温度分布によって変化し、温度分布の幅が狭くなるとF.F.S.が大きくなると述べているが、これらのこととは計算結果と一致しているものと考えられる。ただし、ここでいうF.F.S.とは、点火時を除き、固体粒子の温度の極大点の進行速度を意味している。Gを変化させて温度分布を計算した結果に基づいて、F.F.S.を求めてGとの関係をFig. 6に示した。

下村²⁰⁾は、焼結理論の従来の研究をまとめて考察しているが、その中で、通気度と生産量との間に直線関係があることを示している。Fig. 6からも、有効風量と生産量との間に直線関係が存在することが推察される。一般

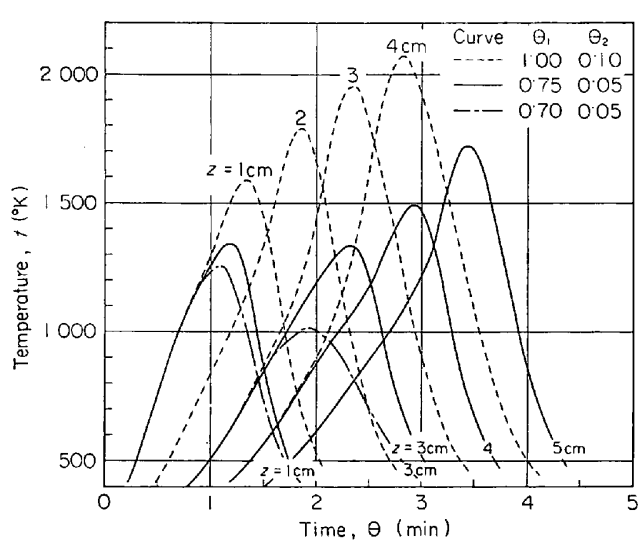


Fig. 3. Effect of residence time in the 1st ignition furnace on the temperature distributions of solid particles in sintering bed.

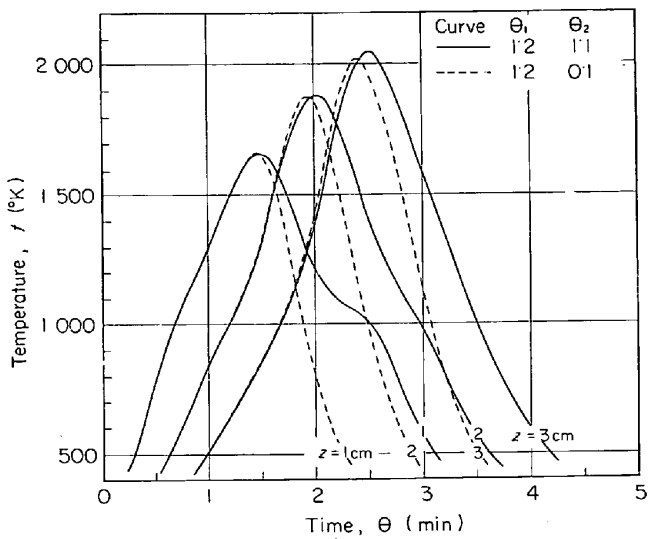


Fig. 4. Effect of residence time in the 2nd ignition furnace on the temperature distributions of solid particles in sintering bed.

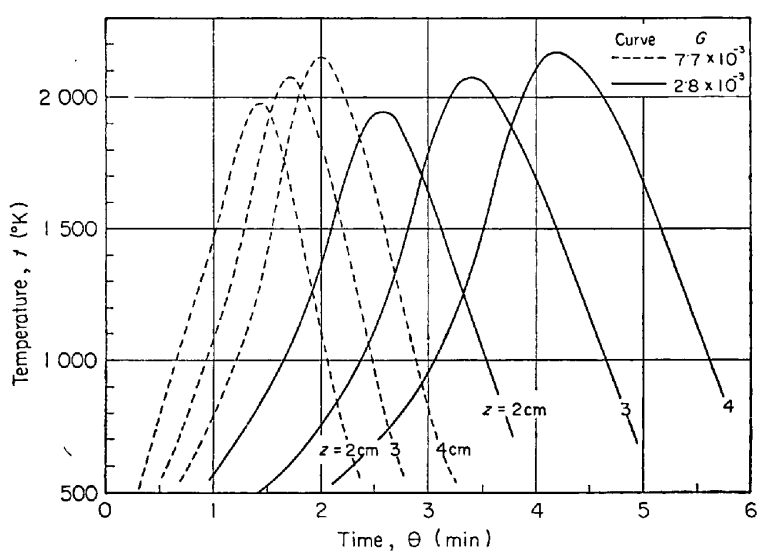


Fig. 5. Effect of mass velocity of gas on the temperature distributions of solid particles in sintering bed.

に有効風量を増加するほど生産量は増大するが、Fig. 5 に示したように、高温に保たれている時間は短くなるので、粒子の急激な温度変化により強度の低下も考えられる。

3.5 粒子径

コークスと鉄鉱石の粒子径と同じにして、粒子径を種々変化させた場合の計算結果を Fig. 7 に示す。この図から、粒子径が減少すると温度の極大点が高くなることがわかるが、これは、粒子径の減少により粒子・流体間の伝熱係数が増加し、コークスの反応速度が増加することによると推察される。Fig. 7 では、粒子径が大きい場合には、粒子の温度が十分上昇しなくなり、温度分布曲線の幅が増加している。この計算条件下では、 $r_0=0.28$

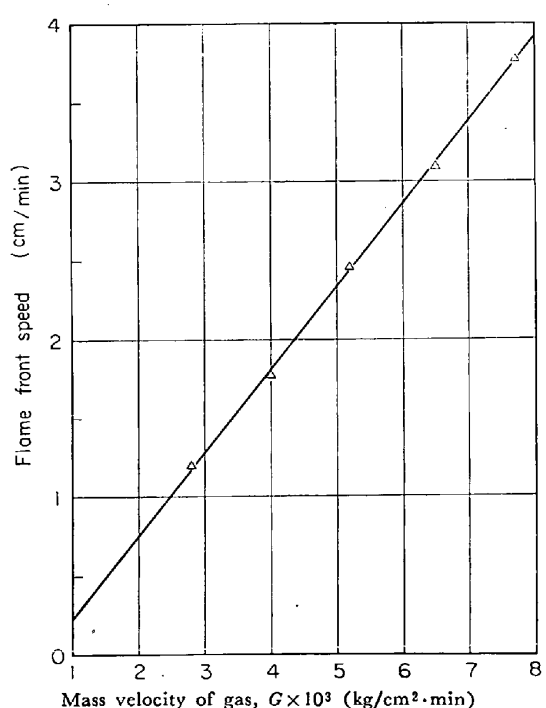


Fig. 6. Relations obtained by calculations between mass velocity of gas and flame front speed.

cm の場合には焼結が進行しなくなる。ある与えられた条件下では焼結可能な最大粒子径が存在することになり、この場合には、 $r_0=0.24$ cm がこれに相当する。

このような限界粒子径より大きな粒子径の場合には、焼結を進行させるために、点火温度や点火時間を変更することが必要である。

3.6 酸素濃度

第1次点火炉内のガス中の酸素濃度だけを増減させた

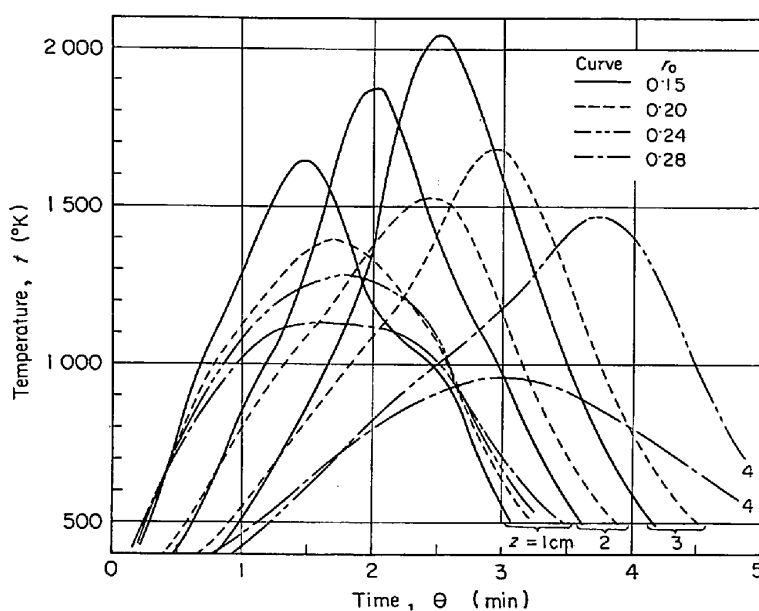


Fig. 7. Effect of diameter of solid particles on the temperature distributions of solid particles in sintering bed.

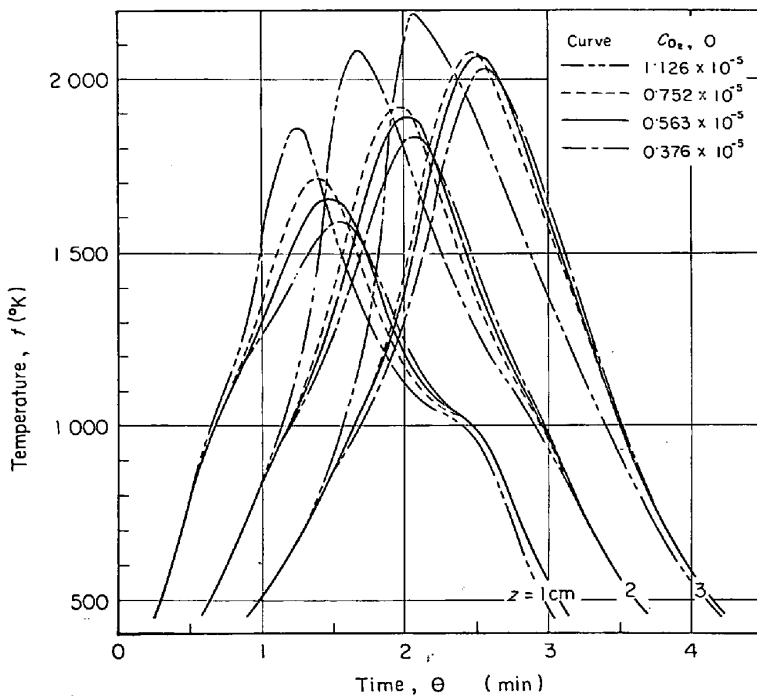


Fig. 8. Effect of oxygen concentration in the 1st combustion furnace on the temperature distributions of solid particles in sintering bed.

場合の計算結果を Fig. 8 に示す。実線の基準値の 2 倍の濃度にした場合には、コークスの燃焼反応が促進されたために、温度の極大点が上昇し、温度分布曲線の形は尖つてくる。しかし、酸素濃度を約 3 割増減させた場合の温度分布では、層内上方では濃度変化の影響がかなり認められるが、層内下方にいくにつれて、この程度の増減による影響はあまり現われなくなる。

3.7 装入粒子温度

装入粒子の温度だけを変化させた場合の計算結果を Fig. 9 に示す。粒子温度が 200°K だけ予熱して供給される場合には、粒子・流体間の温度差が減少するため、初期において温度上昇曲線の傾きがやや小さくなるという点のほかはほとんど影響がみられない。

3.8 層空間率

空間率が 0.3 , 0.4 , 0.5 の各場合について、層頂と層底間での圧力差を変化させて、いずれもガスの質量速度が一定になるように操作した場合の計算結果を Fig. 10 に示した。図では、空間率が小さい場合には温度分布の極大点が上昇しているが、これは、空間率の減少に伴つて粒子・流体間の伝熱係数および境界膜物質移動係数が増加することによる。

3.9 コークス配合率

層全体にわたつてコークスの配合率だけを変化させた場合の計算結果を Fig. 11 に示す。配合率を増加させると温度分布の極大点も増加するが、温度分布曲線の形はあまり変化しない。図では、 2% と 3% の場合にはかなりの変化がみられるが、 3% と 4% では大きな変化は認められない。

3.10 多層操業

通常、上層部では温度が低く焼けにくいために、層全体をなるべく均一に焼結させる目的で従来、上層部にコークスを多量に配合する二層操業法が考えられていた。ここでは、コークス配合率の軸方向分布として次のような三段階の分布を想定した。すなわち、層表面下 1 cm までは 5% および 4% , $1\sim 2\text{ cm}$ では 3% , 2 cm より深い層では 2% に配合した場合の計算結果を Fig. 12 に示す。コークスを全層内にわたつて 3% に均一に配分した場合(破線)と比べて多層操業では層内各位置で温度分布の極大点がかなり均一化されていることがわかる。

4. 生産量と歩留の解析

ここでは、最大の生産量を与えるようなパレットの最適の送り速度について理論的な解析を行ない、歩留を定量的に表現する。ドワイトロイド焼結機を Fig. 13 のようにモデル化して示す。図中で、Heat front plane (f 面), Heat behind plane (b 面) は、それぞれ予熱帶お

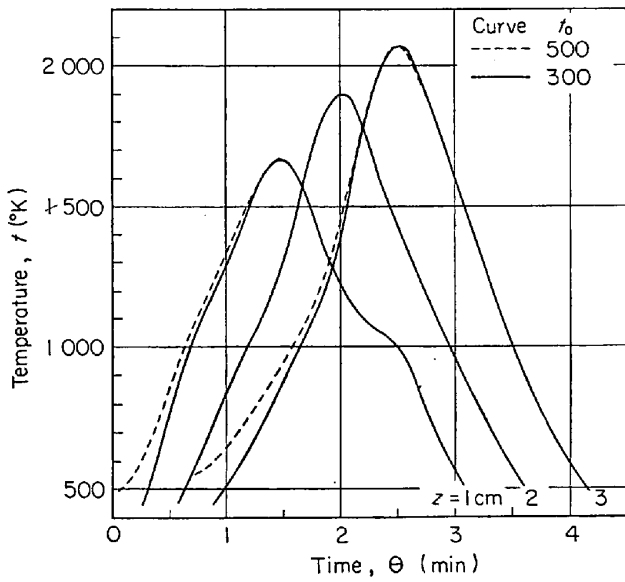


Fig. 9. Effect of preheating of solid particles on the temperature distributions of solid particles in sintering bed.

より冷却帶における焼結に必要な温度の面の軌跡である。以下、これらの面における変数にはそれぞれ接尾字 f , b をつけて区別する。

Fig. 13 で、 f 面, b 面の方程式を、それぞれ、(34), (35)式で表わす。

$$x = g_f(y), \text{あるいは}, y = h_f(x) \dots \dots \dots (34)$$

$$x = g_b(y), \text{あるいは}, y = h_b(x) \dots \dots \dots (35)$$

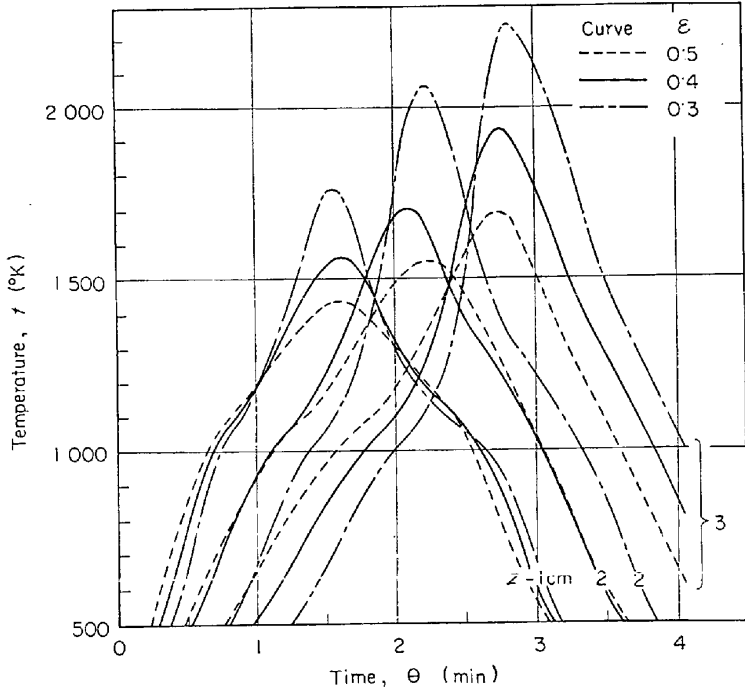


Fig. 10. Effect of voidage on the temperature distributions of solid particles in sintering bed.

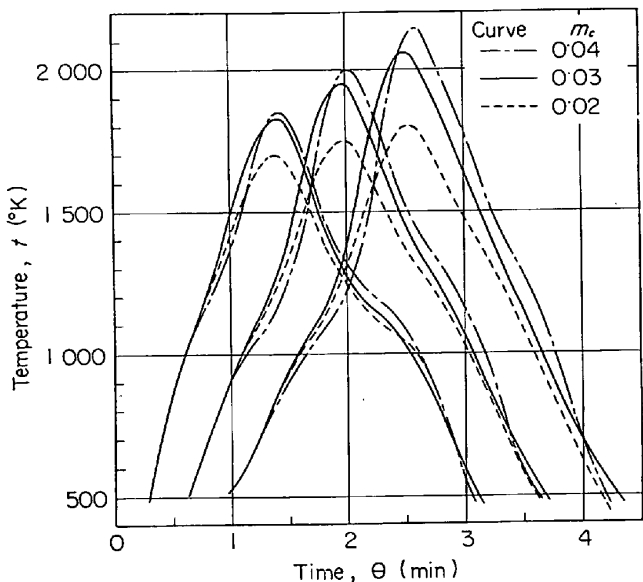


Fig. 11. Effect of mass fractions of coke in burden materials on the temperature distributions of solid particles in sintering bed.

生産量 S は歩留 α を考慮して(36)式のように書ける。

$$S = \int_0^Y b \rho_B V \alpha \cdot dy \dots \dots \dots (36)$$

さて、焼結鉱の強度と、焼結に当たつてある必要温度以上に保たれている時間との間に直線的な正相関があることが、下川ら²¹⁾によつて示されている。ここで、製品の歩留が必要温度以上に保たれている時間 θ_0 に比例し、必要温度以上に昇温していない粒子は焼結されていないと考えて、(37)式を設定する。

$$\alpha(y) = c \cdot \theta_0(y) \dots \dots \dots (37)$$

ただし、 c は定数で、同じ操業条件下では一定である。

(36), (37)式から

$$S = \int_0^Y b \rho_B V \{c \cdot \theta_0(y)\} dy \dots \dots \dots (38)$$

一般に、実操業では次の関係が成立する。

$$0 < Y_r < Y, 0 < L_f < L \dots \dots \dots (39)$$

したがつて、 θ_0 は次式で表わされる。

$0 \leq y \leq Y_r$ では、

$$\theta_0(y) = \{L - g_f(y)\} / V \dots \dots \dots (40)$$

$Y_r < y \leq Y$ では、

$$\theta_0(y) = \{g_b(y) - g_f(y)\} / V \dots \dots \dots (41)$$

ρ_B は簡単のために y に無関係とみなし、(38)式に(40), (41)式を代入すると

$$S = b \rho_B c \left\{ \int_{Y_r}^Y \{g_b(y) - g_f(y)\} dy \right\}$$

$$+ \int_0^{Y_r} \{L - g_f(y)\} dy \dots \dots \dots (42)$$

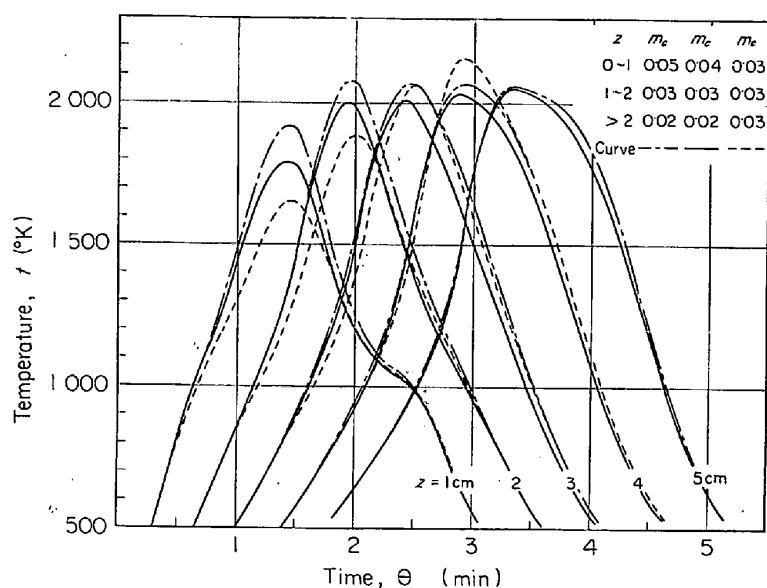


Fig. 12. Temperature distributions of solid particles in sintering bed for the case where the bed consists of three different mass fractions of coke in burden materials.

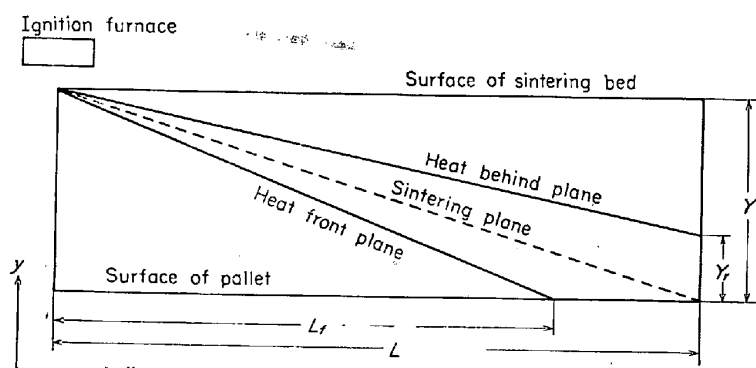


Fig. 13. Schematic diagram of sintering bed for determining optimal condition.

ここで、 f 面、 b 面の進行速度をそれぞれ、Heatfront speed (H.F.S.) u_f および Heat behind speed (H.B.S.) u_b とする。H.F.S. は、同じ操作条件下では、点火時を除くと、層内距離にはあまり影響されないことが報告¹⁷⁾¹⁸⁾されている。ここでは、 u_f 、 u_b がともに y に無関係で一定と考え、H.F.S.、H.B.S. の定義式を次のように示す。

$$u_f = -dy_f/d\theta = -Vdh_f(x)/dx \quad \dots\dots\dots (43)$$

$$u_b = -dy_b/d\theta = -Vdh_b(x)/dx \quad \dots\dots\dots (44)$$

ただし、 y_f 、 y_b はそれぞれ、 f 面、 b 面の y 方向距離である。 (43) 、 (44) 式を積分すると、 $x=0$ で $h_f(0) = Y$ 、 $h_b(0) = Y$ だから、 (45) 、 (46) 式が得られる。

$$h_f(x) = -u_f(x/V) + Y \quad \dots\dots\dots (45)$$

$$h_b(x) = -u_b(x/V) + Y \quad \dots\dots\dots (46)$$

(34) 、 (45) 式、および、 (35) 、 (46) 式から

$$g_f(y) = -V(y-Y)/u_f \quad \dots\dots\dots (47)$$

$$g_b(y) = -V(y-Y)/u_b \quad \dots\dots\dots (48)$$

(47) 、 (48) 式を (42) 式へ代入すると

$$\begin{aligned} S &= b\rho_B c \left\{ \int_{Y_r}^Y \left[-\frac{V(y-Y)}{u_b} + \frac{V(y-Y)}{u_f} \right] dy \right. \\ &\quad \left. + \int_0^{Y_r} \left[L + \frac{V(y-Y)}{u_f} \right] dy \right\} \\ &= b\rho_B c \left\{ \frac{VY^2}{2} \left(\frac{1}{u_b} - \frac{1}{u_f} \right) - \frac{V}{2u_b} Y_r^2 \right\} \end{aligned} \quad \dots\dots\dots (49)$$

ここで、赤熱部の層高 Y_r を (50) 式のように定義し、 (49) 式へ代入すると、 (51) 式が得られる。

$$Y_r = h_b(L) = -u_b L / V + Y \quad \dots\dots\dots (50)$$

$$\begin{aligned} S &= b\rho_B c \left\{ \frac{VY^2}{2} \left(\frac{1}{u_b} - \frac{1}{u_f} \right) \right. \\ &\quad \left. - \frac{V}{2u_b} \left(Y - \frac{u_b}{V} L \right)^2 \right\} \end{aligned} \quad \dots\dots\dots (51)$$

ここで、生産量が最大になるような最適のパレット送り速度を決定する。 (51) 式で S は V だけの関数とみなして、 $dS/dV = 0$ を計算し、 V_{opt} を求める

$$V_{opt} = L / (Y / \sqrt{u_f u_b}) \quad \dots\dots\dots (52)$$

が得られ、 $d^2S/dV^2 < 0$ となる。 (52) 式の右辺の分母の()内は時間の次元をもつている。

ここで、ドワイトロイド焼結機における焼結時間 θ_s と焼結速度 u_{s1} とがそれぞれ、 (53) 、 (54) 式のように定義される。

$$\theta_s = Y / u_{s1} = Y / \sqrt{u_f u_b} = L / V_{opt} \quad \dots\dots\dots (53)$$

$$u_{s1} = \sqrt{u_f u_b} \quad \dots\dots\dots (54)$$

すなわち、焼結速度 u_{s1} は H.F.S. と H.B.S. との幾何平均となつていて。なお、Fig. 13 に示した焼結面の直線の方程式は (55) 式で表わされる。

$$y = (-Y/L)x + Y = (-u_{s1}/V_{opt})x + Y \quad \dots\dots\dots (55)$$

ここで、赤熱指数 $h = Y_r/Y$ と定義すると、 (50) 、 (52) 式から h は (56) 式のように表わされる。

$$h = (-u_b L / V_{opt} + Y) / Y = 1 - \sqrt{u_b / u_f} \quad \dots\dots\dots (56)$$

実操業では、パレットの送り速度は、排鉱部において赤熱部の厚さが全層の約 $1/3$ になるように経験的に決められているようであるが、 $h = 1/3$ ということは (56) 式から $u_b/u_f = 4/9$ ということになる。しかし、原料条件に無関係にこのように操業することには若干問題があるようと考えられる。

さて、 (52) 式を (51) 式へ代入し (56) 式を適用すると

$$S_{max} = b\rho_B c LY(1 - \sqrt{u_b / u_f}) = b\rho_B c LY_r \quad \dots\dots\dots (57)$$

が得られる。 (57) 式から、排鉱部の赤熱層が厚い方が生

$$\begin{aligned}
 & k_s (\partial^2 t / \partial z^2) + (k_s/r) \{ \partial(r \partial t / \partial r) / \partial r \} + h_p a (T - t) \\
 & + (-\Delta H_c) R_c^* = \rho_B \{ \partial(c_{st}) / \partial \theta \} \quad \dots \dots \dots \text{(i)} \\
 & \text{ガス側 } i \text{ 成分についての物質収支から} \\
 & D_{O_2} \frac{\partial^2 C_{O_2}}{\partial z^2} + \frac{\partial}{\partial r} \left(r \frac{\partial C_{O_2}}{\partial r} \right) - G_z \frac{\partial(C_{O_2}/\rho_g)}{\partial z} \\
 & + G_r \frac{\partial(C_{O_2}/\rho_g)}{\partial r} \\
 & - (1 + 12 \times 10^{-3} C_{O_2}/\rho_g) R_c^* = \epsilon \rho_g \\
 & \{ \partial(C_{O_2}/\rho_g) / \partial \theta \} \quad \dots \dots \dots \text{(j)} \\
 & D_{CO_2} \frac{\partial^2 C_{CO_2}}{\partial z^2} + \frac{\partial}{\partial r} \left(r \frac{\partial C_{CO_2}}{\partial r} \right) \\
 & - G_z \frac{\partial(C_{CO_2}/\rho_g)}{\partial z} + G_r \frac{\partial(C_{CO_2}/\rho_g)}{\partial r} \\
 & + (1 - 12 \times 10^{-3} C_{CO_2}/\rho_g) R_c^* \\
 & = \epsilon \rho_g \{ \partial(C_{CO_2}/\rho_g) / \partial \theta \} \quad \dots \dots \dots \text{(k)}
 \end{aligned}$$

ガス側連続の式:

$$\begin{aligned}
 & -\partial G_z / \partial z + \partial(r G_r) / \partial r + 12 \times 10^{-3} R_c^* \\
 & = \partial(\epsilon \rho_g) / \partial \theta \quad \dots \dots \dots \text{(l)}
 \end{aligned}$$

ここで、鍋の半径方向で各プロセス変数が均一とすれば r に関する微分項はすべて消えて、グリナウルト型の基礎式に相当する。さらに、熱伝導、拡散の項を無視し、鍋のテーパーの効果を小さいものと考えれば $G_r = 0$ となる。したがつて、(h)～(l)式を整理すれば既出の(1)～(4)式および(7)式が導出される。

記 号

a : 比表面積	$\text{cm}^2/\text{cm}^3(\text{bed})$
b : パレットの幅	cm
$C_{CO_2}, C_{N_2}, C_{O_2}$: ガス本体中の炭酸ガス、窒素、酸素の濃度	mol/cm^3
$C_{O_2,s}$: 粒子表面上での酸素濃度	mol/cm^3
$C_{O_2,0}, C_{O_2,1}$: 第1次、第2次点火炉内の酸素濃度	mol/cm^3
c_g, c_s : ガス、粒子の比熱	$\text{kcal}/\text{kg} \cdot ^\circ\text{C}$
D_{O_2}, D_{CO_2} : 気相中の酸素、炭酸ガスの分子拡散係数	cm^2/min
d_p : 平均粒子径	cm
G, G_s : ガス、固体粒子の質量速度	$\text{kg}/\text{cm}^2 \cdot \text{min}$
G_r, G_x, G_z : r, x, z 方向成分	$\text{kg}/\text{cm}^2 \cdot \text{min}$
H : ガスの湿度	$\text{kg}/\text{kg}(\text{dry gas})$
ΔH_c : コークスの燃焼熱	kcal/g atom(C)
ΔH_v : 水の蒸発潜熱	kcal/kg
h : 赤熱指数 = Y_r/Y	—
h_s, h_p : 粒子・流体間の伝熱係数,	$\text{kcal}/\text{cm}^2 \cdot \text{min} \cdot ^\circ\text{C}, \text{cal}/\text{cm}^2 \cdot \text{sec} \cdot ^\circ\text{C}$
k_c, k_c^* : 炭素の燃焼反応の速度定数,	
総括速度定数,	cm/min

k_f : 境膜物質移動係数	cm/min
k_g, k_s : ガス、粒子の熱伝導度	$\text{kcal}/\text{cm} \cdot \text{min} \cdot ^\circ\text{C}$
L : 焼結機の有効長さ	cm
L_f : 層底での Heat front plane までの距離	cm
M_C : 炭素の原子量	$\text{kg}/\text{g atom(C)}$
m_c : 配合コークスの質量分率	—
n : 層単位体積当たりのコークス粒子数	$1/\text{cm}^3(\text{bed})$
$p_{O_2,s}$: 粒子表面での酸素の分圧	atm
R : 気体定数	$\text{cal}/\text{mol} \cdot ^\circ\text{K}$
R_c^* : 層内コークスの総括反応速度	$\text{g atom(C)}/\text{min} \cdot \text{cm}^3(\text{bed})$
r : 試験鍋の中心からの半径	cm
r_c, r_0 : コークス粒子の外表面までの半径,	
最初の半径	cm
r_s : コークス粒子の燃焼速度	$\text{g atom(C)}/\text{min}$
r_c^* : コークス粒子の総括反応速度	$\text{g atom(C)}/\text{min}$
S, S_{\max} : 生産量、最大生産量	kg/min
T, T_s : ガス温度、粒子表面でのガス温度	$^\circ\text{K}$
T_0, T_1 : 第1次、第2次点火炉内のガス温度	$^\circ\text{K}$
t, t_0 : 固体粒子温度、初期の粒子温度	$^\circ\text{K}$
u_f, u_b : Heat front speed, Heat behind speed	cm/min
u_{s1}, u_{s2} : 第1種、第2種焼結速度	cm/min
V, V_{opt} : パレットの送り速度,	
最適送り速度	cm/min
W, W_0 : 含水率、最初の含水率(D.B.)	
	$\text{kg}/\text{kg}(\text{dry solid})$
W_c, W_e : 限界、平衡含水率(D.B.)	
	$\text{kg}/\text{kg}(\text{dry solid})$
x, y : パレットの進行方向、それに垂直上方向の距離	
	cm
Y, Y_r : 焼結層厚さ、排鉱部での赤熱層厚さ	cm
$z, \Delta z$: 層表面から下方への層内距離,	
位置のきざみ	cm
α, α_m : 歩留、平均歩留	—
ϵ : 層空間率	—
$\theta, \Delta \theta$: 操業時間、時間のきざみ	min
θ_1, θ_2 : 第1次、第2次点火時間	min
θ_0, θ_m : 保持時間、平均保持時間	min
θ_s : 焼結時間	min
λ : ガスの熱伝導度	$\text{cal}/\text{cm} \cdot \text{sec} \cdot ^\circ\text{C}$
μ : ガスの粘度	$\text{g}/\text{cm} \cdot \text{sec}$
ρ_B : 焼結層のかさ密度	kg/cm^3
ρ_c, ρ_p : コークス、鉄鉱石の密度	kg/cm^3
ρ_g : ガスの密度	kg/cm^3

文 献

- 1) 樋口, 鞭: 鉄と鋼, 53 (1967) 11, p. 1171~1173
- 2) 鞭, 樋口: 鉄と鋼, 54 (1968) 3, S. 19
- 3) S. E. WOODS and C. F. HARRIS: Symp. on Chem. Eng. in the Metallurgical Industries, (1963), p. 77 [Instn. Chem. Engrs.]
- 4) G.S.G. BEVERIDGE: ibid., p. 87
- 5) H. SCHENCK, W. WENZEL, and G. DIETRICH: Arch. Eisenhüttenw., 34 (1963) 7, p. 493~496
- 6) 深川, 石川, 野口, 楠岡: 鉄と鋼, 50 (1964) 3, p. 338~340
- 7) B. M. JOHNSON, G. F. FROMENT, and C. C. WATSON: Chem. Eng. Science, 17 (1962) 11, p. 835~848
- 8) L. MEYER: Z. Phys. Chem., B17 (1932) 6, p. 385~404
- 9) M. A. MAYERS: Chem. Rev., 14 (1934) 1, p. 31~53
- 10) L. N. KHITRIN: Combustion and Explosion, (1962), p. 375, [IPST]
- 11) C. M. TU, H. DAVIS, and H. C. HOTTEL: Ind. Eng. Chem., 26 (1934) 7, p. 749~757
- 12) H. DAVIS and H. C. HOTTEL: Ind. Eng. Chem., 26 (1934) 8, p. 889~892
- 13) A. PARKER and H. C. HOTTEL: ibid., 28 (1936) 11, p. 1334~1341
- 14) 白井: 流動層, (1958), p. 204, p. 207, [科学技術社]
- 15) J. H. PERRY, et al.: Chemical Engineers' Handbook, 4th. ed., (1963), 3-p. 196, [McGraw-Hill]
- 16) 化学工学協会編: 化学工学便覧, (1968), p. 40, [丸善]
- 17) 三本木, 西田, 須沢: 鉄と鋼, 46 (1960) 12, p. 1527~1532
- 18) 三本木, 西田: 鉄と鋼, 47 (1961) 5, p. 687~692
- 19) W. DAVIES: International Mineral Dressing Congress, Stockholm, (1957), p. 305
- 20) 下村: 富士製鉄技報, 9 (1959) 4, p. 389~400, 10 (1960) 2, p. 219~233
- 21) 下川, 渡辺, 大竹: 鉄と鋼, 49 (1963) 10, p. 1268~1270
- 22) N. E. SIDOROV and V. K. ANTONOV: Stahl in English, (1960) 10, p. 715~719
- 23) I. V. RASPOPOV and G. G. LUKASHOV: Stal in English, (1963) 8, p. 589~591